

10. Дидковский В.С., Павловский М.А. Нестационарные колебания гироскопа с динамическим гасителем колебаний при разгоне ротора. - Доклады АН УССР. Сер. А., Физико-математические и технические науки, 1975, № 12, с.1096-1100.
11. *Cunningham R.E., Guntez G.J., Fleming D.P. Design of An Oil Squeeze Film Damper Bearing For A Multimass Flexible Rotor Bearing System. - NASA TN-D-7892, p.30.*
12. Кравцова Е.В., Поздняк Э.Л. Влияние места установки и характера возмущений на эффективность виброгасителей в роторных системах. - Машиноведение, 1980, № 4, с.32-37.
13. Иносов С.В., Севериновский М.Л. Оптимальное управление активным виброгасителем. - Машиноведение, 1979, № 3, с.10-11.
14. *Allaize P.E., Lewis P.W., Knight J.D. Active Vibration Control of a Single Mass rotor on Flexible Supports. - Journal of the Franklin Institute, Vol. 315, No. 3, pp. 211-222, March, 1983.*

УДК 531:539.3

Б.Ф.Шорр, О.Б.Каплунова

#### МАТЕМАТИЧЕСКОЕ МОДЕЛИРОВАНИЕ ИЗГИБНЫХ КОЛЕБАНИЙ БАЛКИ НА УПРУГОВЯЗКОМ ОСНОВАНИИ ПРИ ДВИЖУЩИХСЯ НАГРУЗКАХ

В развитие работы /1/, где рассматривалось воздействие движущейся нагрузки на пластину - полосу с малой изгибной жесткостью, ниже приводится решение задачи об изгибных колебаниях балки на упруговязком основании под действием внезапно приложенной к ней, а затем движущейся с переменной скоростью силы  $Q_0$ . Как и в работе /1/, для решения используется численный метод прямого математического моделирования волновых процессов /2-5/. Алгоритм "разнесения" движущейся нагрузки по границам тех элементов, на которые она воздействует в течение расчетных малых промежутков времени  $\Delta t$  /1/, не зависит от конкретного вида элементов и поэтому остается в силе и для данной задачи.

I. Применительно к проблеме математического моделирования распространения волн изгиба в балках постоянного сечения с учетом влияния сдвига и инерции поворота сечений (модель балки Тимошенко) алгоритм поэтапного расчета сводится к следующей системе соотношений [6].

По известным для момента времени  $t$  значениям изгибающих моментов  $M_{j-1,0}, M_{j,0}$ , поперечных сил  $Q_{j-1,0}, Q_{j,0}$ , поперечных скоростей  $v_{j-1,0}, v_{j,0}$ , угловых скоростей  $\omega_{j-1,0}, \omega_{j,0}$  и усилий в дополнительных сдвиговых податливостях граничных связей

$\hat{Q}_{j-1,0}^+, \hat{Q}_{j,0}^-$  для соседних  $(j-1)$ -го и  $j$ -го элементов, а также по известному прогибу  $y_{j,0}$  на границе между этими элементами определяются значения скоростей  $v_{j-1,*}^+ = v_{j,*}^-$  и  $\omega_{j-1,*}^+ = \omega_{j,*}^-$  на этой границе в течение промежутка времени  $\Delta t$ :

$$v_{j,*}^- = \frac{Q_{j,0}^- Q_{j-1,0} + v_{j,0} + v_{j-1,0} + (\beta-1)(\hat{Q}_{j,0}^- - \hat{Q}_{j-1,0}^-) + (q_j - 2\delta y_{j,0})\beta}{2[1 + \beta(\eta + \delta\alpha)]};$$

$$\omega_{j,*}^- = \frac{\beta(M_{j,0} - M_{j-1,0} + \omega_{j,0} + \omega_{j-1,0}) + \alpha[Q_{j,0} + Q_{j-1,0} + v_{j,0} - v_{j-1,0} + (\beta-1)(\hat{Q}_{j,0} + \hat{Q}_{j-1,0}^+)]}{2(\beta + \alpha^2)}.$$

Здесь  $\alpha = 0,5 \Delta x / z$ ;  $\beta = k_c E / G$ ;  $z = \sqrt{J/F}$ ;  $J$  - момент инерции;  $F$  - площадь поперечного сечения балки;  $k_c$  - коэффициент формы сечения при сдвиге;  $E$  - модуль продольной упругости;  $G$  - модуль сдвига. Длина элементов  $\Delta x = c \Delta t$ , где  $c = \sqrt{E/\rho}$  - скорость распространения продольных волн ( $\rho$  - плотность материала балки). Коэффициент  $\delta$  характеризует упругость, а  $\eta$  - вязкость основания. Действующая на границе между соседними элементами в течение текущего промежутка времени  $\Delta t$  нагрузка  $q_j$  определяется, как указано выше, в зависимости от скорости ее движения вдоль балки. Все параметры в расчете приведены в безразмерном виде:  $Q = Q/q_0$ ,  $M = M/q_0 z$ ,  $v = \rho c F v / q_0$ ,  $\omega = \rho c J \omega / q_0 z$ ,  $y = E F y / q_0 z$ ,  $x = x/z$ ,  $t = ct/z$ , причем черточки над безразмерными параметрами опущены.

Коэффициенты  $\delta$  и  $\eta$  связаны с погонными коэффициентами упругости  $k_\delta$  и вязкости  $k_\eta$  основания соотношениями

$$\delta = \alpha z^4 k_\delta / EJ \text{ и } \eta = k_\eta \sqrt{\delta \alpha} / k_\delta \rho F.$$

Определив  $v_{jx}^-$  и  $\omega_{jx}^-$ , находим параметры возмущений, распространяющихся от правой границы  $(j-1)$ -го элемента:

$$\omega_{j-1}^+ = \omega_{jx}^-; v_{j-1}^+ = [v_{jx}^- - \alpha \omega_{jx}^- + (\beta-1)(v_{j-1,0}^- Q_{j-1,0} + \hat{Q}_{j-1,0}^+)] / \beta;$$

$$M_{j-1}^+ = M_{j-1,0} + \omega_{j-1}^+ - \omega_{j-1,0}; Q_{j-1}^+ = Q_{j-1,0} + v_{j-1}^+ - v_{j-1,0},$$

а по ранее найденным значениям параметров возмущений  $\omega_{j-1}^-$ ,  $v_{j-1}^-$ ,  $M_{j-1}^-$ ,  $Q_{j-1}^-$ , распространяющихся от левой границы  $(j-1)$ -го элемента, находим новые значения параметров  $(j-1)$ -го элемента для момента времени  $t + \Delta t$  по идентичным формулам типа

$$\omega_{j-1,0}(t + \Delta t) = \omega_{j-1}^+ + \omega_{j-1}^- - \omega_{j-1,0}(t).$$

Кроме того, определяем

$$\hat{Q}_{j-1,0}^+(t + \Delta t) = 2Q_{j-1}^+ - \hat{Q}_{j-1,0}^+(t)$$

и

$$y_{jx,0}(t + \Delta t) = y_{jx,0}(t) + v_{jx}^- \Delta t.$$

Затем находим параметры возмущений, распространяющихся от левой границы  $j$ -го элемента:

$$\omega_j^- = \omega_{jx}^+; v_j^- = [v_{jx}^+ + \alpha \omega_{jx}^+ + (\beta-1)(v_{j,0} + Q_{j,0} - \hat{Q}_{j,0}^-)] / \beta;$$

$$M_j^- = M_{j,0} - \omega_j^- + \omega_{j,0}; Q_j^- = Q_{j,0} - v_j^- + v_{j,0};$$

$$\hat{Q}_{j,0}^-(t + \Delta t) = 2Q_j^- - \hat{Q}_{j,0}^-(t),$$

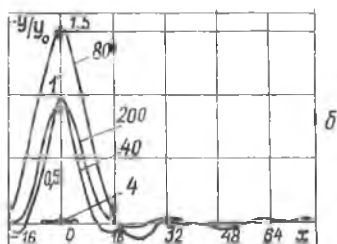
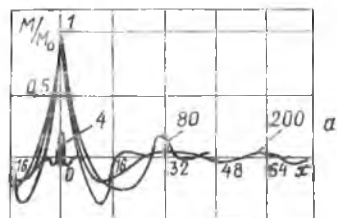
после чего переходим к расчету следующего стыка между  $j$ -м и  $(j+1)$ -м элементами, а после перебора всех стыков - к расчету следующего временного этапа.

Для балки конечной длины учитываются граничные условия на концах.

2. Рассмотрим вначале внезапное приложение к балке постоянной неподвижной силы  $q_0 = -I$  (в сечении  $j = 1$ ). В этом случае в силу симметрии системы следует принять граничные условия (для левого конца первого элемента) в виде  $\omega_{1x}^- = 0$  и  $q_1^- = -0,5$ , что дает

$$y_{1*}^- = \frac{Q_{10} + y_{10} + (\beta - 1) \hat{Q}_{10}^- + (q_1^- - \sigma y_{1*0}) \beta}{1 + \beta(\gamma + \delta \alpha)}$$

На рис. I показаны эпюры изгибающих моментов  $M/M_0$  и прогибов  $y/y_0$  для нескольких моментов безразмерного времени  $t$ . В расчете принято:  $\alpha = 0,2$ ;  $\beta = 7,11$ ;  $\delta = 2 \cdot 10^{-4}$ ;  $\gamma = 2,6 \cdot 10^{-3}$ ,



Р и с. I. Распределение изгибающих моментов (а) и прогибов (б) по длине балки при внезапно приложенной нагрузке для разных моментов времени, обозначенных числами

что соответствует данным работы [7]. Изгибающие моменты, прогибы и поперечные силы отнесены к величинам соответствующих теоретических значений  $M_0$ ,  $y_0$ ,  $Q_0$  для задачи статического приложения нагрузки  $q_0$  к балке на упругом основании без учета деформаций сдвига, когда для точки приложения нагрузки

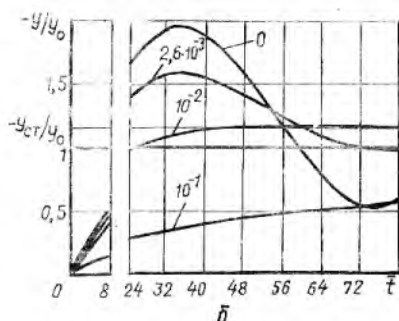
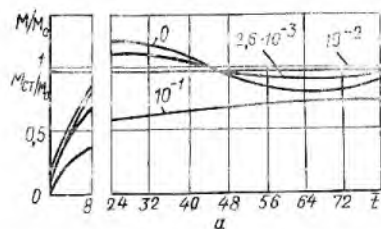
$$y_0 = 0,5(4\sigma^3/\alpha^3)^{-0,25} q_0; \quad M_0 = 0,5(4\sigma/\alpha)^{-0,25} q_0; \quad Q_0 = 0,5q_0.$$

На рис. 2 показано изменение по времени изгибающих моментов и прогибов в точке приложения нагрузки как для чисто упругого, так и упруговязкого основания. И изгибающие моменты, и прогибы стремятся к стационарным значениям, практически совпадающим с данными аналитического расчета соответствующей балки с учетом деформаций сдвига, которые могут быть определены по вытекающим из работы [7] формулам:

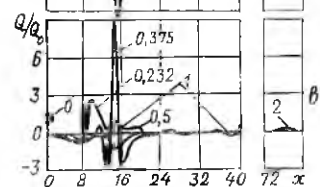
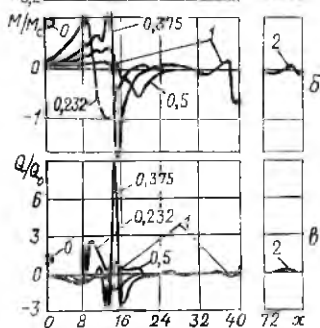
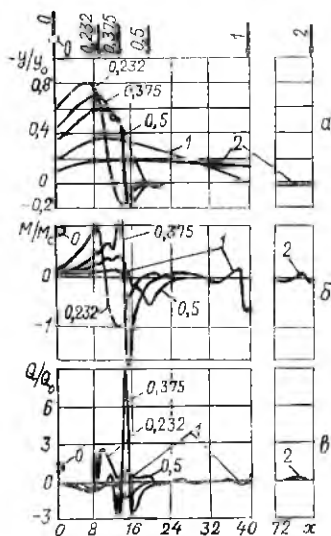
$$-y_{ст}/y_0 = (2R+1)/\sqrt{R(4R+1)}; \quad M_{ст}/M_0 = 2\sqrt{R(4R+1)}, \quad \text{где } R = (2\beta\sqrt{\delta/\alpha})^2.$$

Отметим, что для более жесткого основания влияние сдвига становится более существенным.

Последующие рисунки относятся к расчету балки при движущейся нагрузке, которая в момент времени  $t = 0$  внезапно прикладывается в сечении  $x = 0$  ( $j = 1$ ).



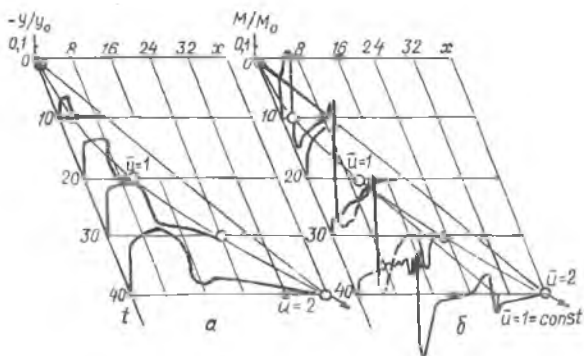
Р и с. 2. Изменение во времени изгибающих моментов (а) и прогибов (б) в точке приложения неподвижной нагрузки при различных коэффициентах вязкости основания  $\mu$ , обозначенных числами



Р и с. 3. Распределение прогибов (а), изгибающих моментов (б) и поперечных сил (в) по длине балки в момент времени  $t = 40$  и при различных постоянных скоростях движения нагрузки  $\bar{u}$ , обозначенных числами. Точками показаны стационарные значения соответствующих параметров при  $\bar{u} = 0$ ,  $x = 0$

На рис.3 приведены эпюры прогибов  $y/y_0$ , изгибающих моментов  $M/M_0$  и поперечных сил  $Q/Q_0$  в момент времени  $t = 40$  при различных постоянных скоростях  $\bar{u} = u/c$  движения нагрузки  $q_0 = -1$ , положения которой в этот момент времени показаны стрелками. На эпюрах хорошо видна смена знака прогибов и изгибающих моментов в точке приложения движущейся силы при увеличении ее скорости в диапазоне "критических" значений (в данном примере  $\bar{u}_1 = 0,232$  и  $\bar{u}_2 = 0,375$ ), что отвечает аналитическому решению [7]; наблюдается также рост изгибающего момента  $M$  при движении со скоростью распространения продольных волн  $\bar{u}_3 = 1$ . Скорость  $\bar{u}_2$  соответствует скорости распространения волн сдвиговой деформации, а  $\bar{u}_1$  - скорости волны, связанной с взаимодействием балки и упругого основания.

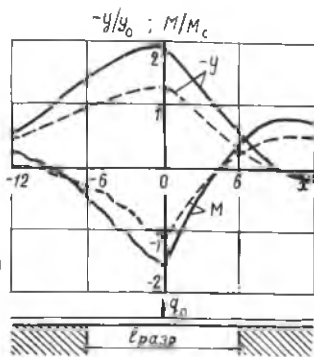
На рис.4 показано распределение прогибов  $y/y_0$  и изгибающих моментов  $M/M_0$  по длине балки для нескольких моментов времени при движении нагрузки



Р и с. 4. Распределение прогибов (а) и изгибающих моментов (б) по длине балки для разных моментов времени при движении нагрузки со скоростью, возрастающей за время  $t = 40$  от  $\bar{u} = 0$  до  $\bar{u} = 2$ . Точками показаны положения нагрузки

с переменной скоростью, возрастающей за время  $t = 40$  от  $\bar{u} = 0$  до  $\bar{u} = 2$ . Видно появление и распространение со скоростью  $\bar{u} = 1$  волны изгибающего момента при движении нагрузки с закритической скоростью  $\bar{u} > 1$ .

В заключение приведем результаты расчета более сложного случая движения нагрузки по балке с местным разрывом основания, когда особенно отчетливо проявляются преимущества метода прямого моделирования процесса распространения волновых фронтов. Для учета разрыва основания достаточно ввести в программу условие, что при  $j_1 \leq j \leq j_2$  ( $j_1, j_2$  - номера элементов у границ разрыва)  $\sigma = \tau = 0$ . На рис.5 показана сравнительная картина распределения прогибов и изгибающих моментов на участке разрыва основания в момент нахождения нагрузки в середине этого участка и при сплошном основании.



Р и с. 5. Распределение прогибов и изгибающих моментов на участке разрыва основания при длине разрыва  $l_{\text{разр}} = 12$  при  $\bar{u} = 0,1$  в момент времени  $t = 60$ : \_\_\_\_\_ основание с разрывом, - - - - - сплошное основание

## Библиографический список

1. Шорр Б.Ф. Математическое моделирование динамических процессов при движущихся нагрузках. - В сб.: Вибрационная прочность и надежность двигателей и систем летательных аппаратов. Куйбышев:КуАИ, 1983, с. 148-156.
2. Шорр Б.Ф. Прямое математическое моделирование процесса распространения механических возмущений в твердых деформируемых телах. - В сб.: Проектирование и доводка авиационных ГТД. Куйбышев:КуАИ, 1976, вып. 78, с.70-75.
3. Мельникова Г.В., Стратонова М.М., Шорр Б.Ф. Численное решение одномерных нелинейных задач механики сплошной среды методом прямого математического моделирования. - В сб.: Вопросы вычислительной и прикладной математики. Ташкент, 1980, вып.60, с.46-53.
4. Мельникова Г.В., Шорр Б.Ф. Исследование динамики систем с демпфирующими элементами сухого трения методом математического моделирования процесса распространения возмущений. - В сб.: У Всесоюзный съезд по теоретической и прикладной механике: Аннотации докладов. Алма-Ата: Наука, 1981. - 253 с.
5. Шорр Б.Ф. Математическое моделирование волновых процессов в упруго-вязкопластических телах. - МТТ, 1984, № 4, с.144-151.
6. Мельникова Г.В., Шорр Б.Ф. Изгибные колебания балок с демпфером сухого трения. - В сб.: XIII конференция по вопросам рассеяния энергии при колебаниях механических систем: Тезисы докладов. Киев: Наукова думка, 1983, с. 57.
7. Муравский Г.Б. Колебания балки типа Тимошенко, лежащей на упруго-наследственном основании. - МТТ, 1981, № 5, с.167-179.